# Représentations des groupes symétriques

#### Gabriel Pallier

# Séminaire des étudiants, Orsay - mars 2016

Soit d un entier naturel. D'après la théorie de Frobenius, le groupe symétrique  $\mathfrak{S}_d$  admet autant de représentations irréductibles que de classes de conjuguaison – à savoir p(d), le nombre de partitions de l'entier d – mais on ne dispose pas de bijection privilégiée entre ces deux ensembles. On donne ici une énumération combinatoire des représentations irréductibles de  $\mathfrak{S}_d$ : nous montrons qu'elles peuvent être indicées par les partitions de d, via les symétriseurs  $^1$  de Young. Pour finir, on énonce une formule de Frobenius qui exprime les caractères de ces représentations.

Ces notes suivent d'assez près le chapitre 4 de [1].

# Table des matières

1		ymétriseur de Young
	1.1	Premières définitions
	1.2	Représentations irréductibles de $\mathfrak{S}_d$ : énoncé et formule des équerres
	1.3	Exemples
2	Prei	uve du théorème 1
	2.1	Un lemme combinatoire
	2.2	Caractérisation du symétriseur de Young
	2.3	Fin de la preuve
	2.4	Représentation $V_{\lambda'}$
3		nplément : Formule de Frobenius
	3.1	Enoncé
	3.2	Application : formule des équerres

<sup>1.</sup> On rencontre aussi la terminologie "symétrisateur" dans la traduction française de [2], mais cet usage semble isolé.

# 1 Le symétriseur de Young

#### 1.1 Premières définitions

**Diagramme de Ferrers** Par convention, une partition  $\lambda$  de l'entier d est écrite  $(\lambda_1, \ldots \lambda_s)$  où  $\lambda_1 + \cdots + \lambda_s = d$  avec  $\lambda_1 \geqslant \cdots \geqslant \lambda_s$  (les derniers  $\lambda_i$  son éventuellement nuls) et représentée graphiquement par un diagramme de Ferrers, aligné dans le coin supérieur gauche dont la i-ème ligne comporte  $\lambda_i$  cases. Par exemple, les diagrammes de Ferrers des partitions de d=3 sont :

$$(3)$$
 :  $(2,1)$  :  $(1,1,1)$  :

A partir d'un diagramme de Ferrers, on peut en former un nouveau, où chaque ligne correspond à une colonne du précédent. Ce nouveau diagramme correspond à la partition conjuguée  $\lambda'$ .

$$\lambda = (4,2,1) : \qquad \longleftrightarrow \qquad \vdots \lambda' = (3,2,1,1)$$

Les partitions sont munies de l'ordre total lexigographique :  $\lambda > \mu$  si le premier  $\lambda_i - \mu_i$  non nul est strictement positif.

**Tableaux de Young** Ce sont des diagrammes de Ferrers numérotés, plus précisément :

**Définition 1.** Soit  $\lambda$  une partition de d. Un tableau de Young de  $\lambda$  est la donnée d'une indexation par  $\{1 \dots d\}$  des cases de son diagramme de Ferrers. On note  $\mathcal{T}_{\lambda}$  l'ensemble des tableaux de Young de  $\lambda$ .

Par exemple, un tableau de Young de (4, 2, 1) est :

Observons que, l'action tautologique de  $\mathfrak{S}_d$  sur l'ensemble  $\{1\dots d\}$  détermine une action  $\mathfrak{S}_d \curvearrowright \mathcal{T}_{\lambda}$ , où pour tout  $T \in \mathcal{T}_{\lambda}$  et  $g \in \mathfrak{S}_d$  le tableau g.T contient le nombre g(i) dans la case où T contenait i. Soit T un tableau de  $\lambda$ . On distingue deux sous-groupes particuliers associés à T dans  $\mathfrak{S}_d$ :

- Le sous-groupe  $P_{\lambda}$  des éléments qui préservent les lignes de T dans l'action précédente.
- Le sous-groupe  $Q_{\lambda}$  des éléments qui préservent les lignes de T dans l'action précédente.

Les groupes  $P_{\lambda}$  et  $Q_{\lambda}$  dépendent du tableau T choisi. Toutefois, remplacer T par g.T revient à les remplacer par les sous-groupes  $gP_{\lambda}g^{-1}$  et  $gQ_{\lambda}g^{-1}$  qui leur sont respectivement conjugués.

Remarque 1.  $P_{\lambda} \cap Q_{\lambda} = \{id\}$ . En effet, laisser chaque nombre dans sa ligne et dans sa colonne, c'est encore fixer le contenu de chaque case.

A partir de ces deux sous-groupes, on construit deux éléments de l'algèbre de groupe  $A = \mathbb{C}[\mathfrak{S}_d]$  par :

$$a_{\lambda} = \sum_{g \in P_{\lambda}} g$$
  $b_{\lambda} = \sum_{g \in Q_{\lambda}} \varepsilon(g)g$ 

Ces éléments engendrent des idéaux à gauche  $Aa_{\lambda}$  et  $Ab_{\lambda}$  de l'algèbre de groupe, auxquelles sont associées des représentations, induites sur  $\mathfrak{S}_d$  par des représentations de  $P_{\lambda}$  et  $Q_{\lambda}$  qui sont respectivement triviale et alternée, ainsi que l'exprime la proposition suivante :

**Proposition 1.** Pour tout  $(p,q) \in P_{\lambda} \times Q_{\lambda}$  on a :

$$pa_{\lambda} = a_{\lambda}p = a_{\lambda} \tag{1}$$

$$\varepsilon(q)qb_{\lambda} = b_{\lambda}\varepsilon(q)q = b_{\lambda} \tag{2}$$

Preuve. C'est un calcul direct :

$$p\sum_{g\in P_{\lambda}}g=\sum_{g\in P_{\lambda}}pg=\sum_{h\in P_{\lambda}}h=a_{\lambda}$$
 
$$\varepsilon(q)q\sum_{g\in Q_{\lambda}}\varepsilon(g)g=\sum_{g\in Q_{\lambda}}\varepsilon(q)q\varepsilon(g)g=\sum_{h\in Q_{\lambda}}\varepsilon(q)\varepsilon(q^{-1}h)h=\sum_{h\in Q_{\lambda}}h=b_{\lambda}$$

Remarque 2. Il découle de la proposition précédente que :  $a_{\lambda}^2 = |P_{\lambda}| a_{\lambda}$  et  $b_{\lambda}^2 = |Q_{\lambda}| b_{\lambda}$ .

**Définition 2.** Soit  $\lambda$  une partition, T un de ses tableaux de Young. Le symétriseur de Young associé à T est l'élément  $c_{\lambda} = a_{\lambda}b_{\lambda}$ . L'idéal à gauche de A engendré par  $c_{\lambda}$  est par définition :

$$V_{\lambda} := Ac_{\lambda}$$

# 1.2 Représentations irréductibles de $\mathfrak{S}_d$ : énoncé et formule des équerres

Les représentations  $V_{\lambda}$  forment un système complet des représentations irréductibles de  $\mathfrak{S}_d$ . Plus précisément, nous avons le :

**Théorème 1.** Soit  $d \ge 1$  un entier naturel. Pour tout  $\lambda$  partition de d, on définit un symmétriseur  $c_{\lambda}$  et une représentation  $V_{\lambda}$  de  $\mathfrak{S}_d$  comme dans la sous-section précédente. Alors

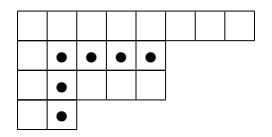
- 1.  $c_{\lambda}^2 = n_{\lambda} c_{\lambda}$  pour un certain  $n_{\lambda} \in \mathbb{N}$  non nul.
- 2. Les  $V_{\lambda}$  sont irréductibles
- 3. Si  $\lambda \neq \mu$  alors  $V_{\lambda}$  et  $V_{\mu}$  son non isomorphes

Remarque 3. 2. et 3. entraînent que toute représentation irréductible de  $\mathfrak{S}_d$  est de la forme  $V_\lambda$ . En effet, nous savons qu'il y a exactement autant de représentations irréductibles que de classes de conjuguaison, donc autant que de partitions de d.

Les nombres  $n_{\lambda}$  sont liées aux dimensions de  $V_{\lambda}$  par :

$$n_{\lambda} \dim V_{\lambda} = d! \tag{3}$$

Par ailleurs, ils admettent une interprétation combinatoire que voici. Une équerre dans un diagramme de Ferrers est la donnée de l'ensemble des cases situées soit en-dessous, soit à droite d'une case donnée. Ainsi par exemple les cases pointées du diagramme suivant forment une équerre.



**Théorème 2** (Formule des équerres).  $n_{\lambda}$  est le produit des cardinaux des équerres du diagramme de  $\lambda$ .

## 1.3 Exemples

Exemple 1 (Représentation triviale). Soit  $\lambda = (d)$  la partition à une seule part, dont un tableau est :

$$\boxed{1 \ | \ 2 \ | \ 3} \cdots \boxed{d - 1} \ d$$

On trouve  $P_{\lambda} = \mathfrak{S}_d$  et  $Q_{\lambda} = \{e\}$ , donc  $V_{(d)} = U_{(d)}$  est la représentation triviale. On peut vérifier la formule des équerres, avec  $n_{\lambda} = 1 \cdot 2 \cdots d = d!$ .

Exemple 2 (Représentation alternée). Soit  $\lambda=(1,1,\dots 1)$  la partition en d parts. Dans ce cas  $P_{\lambda}=\{e\}$  et  $Q_{\lambda}=\mathfrak{S}_d$ , donc  $V_{(1,1,\dots 1)}=W_{(1,1,\dots 1)}$  est la représentation alternée.

Exemple 3 (Représentation standard). Déterminons la représentation de  $\mathfrak{S}_3$  associée à la partition (2,1): On se donne le tableau

$$\begin{array}{|c|c|c|}\hline 1 & 2 \\\hline 3 & \end{array}$$

On a :  $P_{\lambda}=\{e,(12)\}$  et  $Q_{\lambda}=\{e,(13)\}$ , puis  $a_{\lambda}=e+(12)$  et  $b_{\lambda}=e-(13)$  ; enfin

$$c_{\lambda} = e + (12) - (13) - (132)$$

Calculons  $Ac_{\lambda}$ : pour cela remarquons que :

$$(12)c_{\lambda} = (a_{\lambda} - e)c_{\lambda} = (|P_{\lambda}| - 1)c_{\lambda} = c_{\lambda}$$

$$(123)c_{\lambda} = (13)(12)c_{\lambda} = (13)c_{\lambda}$$

$$(13)c_{\lambda} + (23)c_{\lambda} = (13) + (123) - 1 - (23) + (23) + (132) - (123) - (12) = -c_{\lambda}$$

$$(132)c_{\lambda} = (13)(23)c_{\lambda} = (13)((13)c_{\lambda} + c_{\lambda}) = c_{\lambda} + (13)c_{\lambda}$$

Il en ressort que  $V_{\lambda} = \mathbb{C}c_{\lambda} + \mathbb{C}(13)c_{\lambda}$  et que  $V_{\lambda}$  est la représentation standard de  $\mathfrak{S}_3$ .

Notons qu'avec ces trois exemples, nous avons collecté toutes les représentations irréductibles de  $\mathfrak{S}_3$ , et ainsi vérifié le théorème pour d=3: si 1 désigne sa représentation triviale et  $\Delta$  sa représentation standard, on a la correspondance :

$$oldsymbol{1}: oxedsymbol{oxedsymbol{eta}} oldsymbol{\Delta}: oxedsymbol{oxedsymbol{eta}} oldsymbol{arepsilon} oldsymbol{arepsilon}: oxedsymbol{oxedsymbol{eta}}$$

On vérifie aussi la formule des équerres : dans  $V_{(d)}$  et dans  $V_{(1,1,\ldots 1)}$  il y a une équerre de taille k pour tout k allant de 1 à d, donc  $n_{\lambda}=d!$  et  $\dim V_{\lambda}=1$ . Pour (2,1), on calcule :  $n_{\lambda}=1\cdot 1\cdot 3$  et  $\dim V_{\lambda}=6/3=2$ .

Remarque 4. C'est un fait plus général (nous le démontrerons plus loin) que la représentation  $V_{\lambda'}$  s'obtient en tensorisant  $V_{\lambda}$  par la représentation alternée  $\varepsilon$ .

# 2 Preuve du théorème 1

#### 2.1 Un lemme combinatoire

L'énoncé suivant constitue l'ingrédient combinatoire de la preuve du théorème 1.

**Lemme 1.** Soient  $\lambda$  et  $\mu$  deux partitions de l'entier d,  $T_{\lambda}$  et  $T_{\mu}$  deux tableaux de Young. On suppose que :

- $-\lambda \geqslant \mu$
- Aucune paire de nombres  $\{i,k\} \subset \{1,\ldots d\}$  n'apparaît à la fois dans la même colonne de  $T_{\mu}$  et dans la même ligne de  $T_{\lambda}$

Alors  $\lambda = \mu$ , et il existe  $p \in P_{\lambda}$ ,  $q \in Q_{\lambda}$  tels que

$$T_{\lambda} = pq.T_{\mu}$$

Remarque 5. De tels p et q sont nécessairement uniques, car on a vu plus haut que  $P_{\lambda} \cap Q_{\lambda}$  est triviale, et d'autre part  $\mathfrak{S}_d \curvearrowright \mathcal{T}_{\lambda}$  est libre.

Démonstration. La preuve est algorithmique : on va construire p et q graduellement.  $\lambda \geqslant \mu$  entraîne en particulier  $\lambda_1 \geqslant \mu_1$ . La première ligne de  $T_\lambda$  comporte  $\lambda_1$  nombre ; d'après la seconde hypothèse ceux-ci doivent se situer dans des colonnes distinctes de  $T_\mu$ . Donc  $\mu_1 \geqslant \lambda_1$ . De plus, il existe  $q_1' \in Q_\mu$  tel que les contenu des premières lignes de  $q_1'.T\mu$  et  $T_\lambda$  sont exactement les mêmes (mêmes nombres, mais pas à la même place). Le même raisonnement permet d'établir que  $\lambda_2 = \mu_2$  et qu'il existe  $q_2' \in Q_\mu$  tel que  $q_2'q_1'.T_\mu$  possède les mêmes nombres que  $T_\lambda$  dans ses première et deuxième ligne. Finalement, si s est le nombre de parts de  $\lambda$ , on trouve  $q_1' \dots q_s'$  telles que  $q_s'q_{s-1}' \dots q_1'.T_\mu$  a les mêmes contenus de lignes que  $T_\lambda$  (avec un ordre éventuellement différent à chaque fois). Finalement, il existe  $p \in P_\lambda$  tel que  $T_\lambda = pq.T_\mu$ .

On déduit de ce lemme une première conséquence :

**Proposition 2.** Soient  $\lambda$  et  $\mu$  deux partitions de d,  $a_{\lambda}$  et  $b_{\mu}$  associés à des tableaux de Young de  $\lambda$  et  $\mu$ . Alors si  $\lambda > \mu$ , on a:

$$a_{\lambda}Ab_{\mu}=(0)$$

*Démonstration.* On se ramène à montrer l'identité suivante : pour tout  $g \in \mathfrak{S}_d$ 

$$a_{\lambda}gb_{\mu}g^{-1} = 0 \tag{4}$$

En effet, si  $a = \sum \alpha_g g$  est un élément quelconque de A, alors on aura

$$a_{\lambda}ab_{\mu} = a_{\lambda} \sum_{g \in \mathfrak{S}_d} \alpha_g gb_{\mu} = a_{\lambda} \sum_{g \in \mathfrak{S}_d} gb_{\mu}g^{-1}\alpha_g g \stackrel{(4)}{=} 0$$

En fait, pour atteindre (4) pour tout g il suffit de montrer  $a_{\lambda}b_{\mu}=0$ , car alors changer le tableau de Young  $T_mu$  en  $g.T_{\mu}$  donne l'identité pour g quelconque. Par hypothèse  $\lambda>\mu$ , donc d'après la contraposée du lemme combinatoire, il existe i et  $k,i\neq k$  situés dans une même ligne de  $T\lambda$  et une même colonne de  $T\mu$ . Soit t la transposition qui les échange : t=(i,k). Alors  $t\in P_{\lambda}\cap Q_{\mu}$ , d'où (proposition 1) :

$$a_{\lambda} = a_{\lambda}t$$

$$b_{\mu} = \varepsilon(t)tb_{\mu} = -tb_{\mu}$$

Donc  $a_{\lambda}b_{\mu}=a_{\lambda}t(-tb_{\mu})=-a_{\lambda}b_{\mu}$ , puisque  $t^2=e$ . On a ainsi  $a_{\lambda}b_{\mu}=0$  comme souhaité, ce qui conclut la preuve.

### 2.2 Caractérisation du symétriseur de Young

Il découle de la proposition 1 que  $c_{\lambda}$  vérifie, pour tout  $(p,q) \in P_{\lambda} \times Q_{\lambda}$ ,  $pc_{\lambda}\varepsilon(q)q = c_{\lambda}$ . En fait, lui et ses multiples scalaires sont les seuls à vérifier cette identité :

**Lemme 2.** Soit  $c \in A$ . Alors  $c \in \mathbb{C}c_{\lambda}$  si et seulement si pour tout  $(p,q) \in P_{\lambda} \times Q_{\lambda}$ , on a

$$pc\varepsilon(q)q = c \tag{5}$$

Démonstration. Le sens direct a déjà été démontré. Réciproquement soit  $c \in A$  qui vérifie (5) pour tout  $(p,q) \in P_{\lambda} \times Q_{\lambda}$ . Décomposons c sous la forme  $\sum \gamma_{q} g$  dans A. Alors

$$\sum_{g \in \mathfrak{S}_d} \varepsilon(q) \gamma_g pgq = \sum_{g \in G} \gamma_g g \tag{6}$$

Comme  $P_{\lambda} \cap Q_{\lambda} = \{e\}$ , l'application  $P_{\lambda} \times Q_{\lambda}$  qui à (p,q) associe pq est injective. L'équation précédente entraı̂ne donc

$$\varepsilon(q)\gamma_e = \gamma_{pq}$$

pour tout  $(p,q) \in P_\lambda \times Q_\lambda$ . Ceci est aussi vérifié par  $c_\lambda$ ; on en déduit que c coı̈ncide avec un multiple de  $c_\lambda$  sur l'ensemble  $P_\lambda Q_\lambda = \{h \in \mathfrak{S}_d : h = pq, (p,q) \in P_\lambda \times Q_\lambda\}$ . Puisque  $c_\lambda$  est supporté sur  $P_\lambda Q_\lambda$ , il reste à montrer que  $\gamma_{g_0} = 0$  quand  $g_0 \in \mathfrak{S}_d \setminus P_\lambda Q_\lambda$ . Soit donc un tel  $g_0$ . D'après le lemme combinatoire, il existe j et  $k, j \neq k$ , dans une même ligne de  $T_\lambda$  et une même colonne de  $g_0 T_\lambda$ . Soit t la transposition qui les échange : t = (j,k). Alors  $t \in P_\lambda \cap (g_0 Q_\lambda q_0^{-1})$ . Posons p = t et  $q = g_0^{-1} t g_0$ , et évaluons (6) avec p et q: cela donne  $pg_0q = tg_0g_0^{-1}tg_0 = g_0$ , mais alors  $\varepsilon(q)\gamma_{g_0} = \gamma_{g_0}$ , or  $\varepsilon(q) = \varepsilon(t) = -1$ , donc  $\gamma_{g_0}$  est bien nul.

**Proposition 3.** Pour tout  $x \in A$ ,  $c_{\lambda}xc_{\lambda} \in \mathbb{C}c_{\lambda}$ . En particulier,  $c_{\lambda}^2 = n_{\lambda}c_{\lambda}$  pour un certain  $n_{\lambda} \in \mathbb{C}$ .

Démonstration. Pour tout  $x \in A$ ,  $c = c_{\lambda}xc_{\lambda}$  vérifie l'équation (5). D'après le lemme 2, c'est un multiple scalaire de  $c_{\lambda}$ . En particulier, avec x = e on obtient que  $c_{\lambda}^2 \in \mathbb{C}c_{\lambda}$ .

## 2.3 Fin de la preuve

- (a)  $V_{\lambda}$  est irréductible : Donnons-nous  $W \subseteq V_{\lambda}$  une sous-représentation, soit un idéal à gauche de A contenu dans  $V_{\lambda}$ . D'après la dernière proposition, on a que  $c_{\lambda}W \subseteq c_{\lambda}V_{\lambda} = \mathbb{C}c_{\lambda}$ . De deux choses l'une :
  - Ou bien  $c_{\lambda}W = \mathbb{C}c_{\lambda}$ ; mais alors vu que W est un idéal à gauche,  $V_{\lambda} = Ac_{\lambda} \subseteq W$ , et  $W = V_{\lambda}$ .
  - Ou bien  $c_{\lambda}W=0$ . En particulier  $W^2\subseteq V_{\lambda}W=Ac_{\lambda}W=0$ . D'après le lemme de complète réductibilité de Maschke, il existe un projecteur  $\mathfrak{S}_d$ -équivariant de A sur W, qui est représenté dans  $\operatorname{End}_A(A)$  comme la multiplication à droite par un idempotent  $\pi\in A$ . L'annulation  $W^2=0$  entraîne alors  $0=\pi^2=\pi$ , d'où W=0.

En particulier, le dernier argument appliqué à  $W = V_{\lambda}$  indique que  $c_{\lambda}V_{\lambda} = \mathbb{C}c_{\lambda}$ .

(b) Quand  $\lambda > \mu$ ,  $V_{\lambda}$  et  $V_{\mu}$  sont non isomorphes: D'une part  $c_{\lambda}V_{\lambda} = \mathbb{C}c_{\lambda}$  d'après ce qui précède, d'autre part  $c_{\lambda}V_{\mu} = c_{\lambda}Ac_{\mu} \subseteq a_{\lambda}Ab_{\mu} = (0)$  d'après la proposition 2. Donc  $V_{\lambda}$  et  $V_{\mu}$  ne peuvent pas être isomorphes.

(c)  $c_{\lambda}^2 = n_{\lambda} c_{\lambda}$  avec  $n_{\lambda} \dim V = d!$ : On a déjà établi l'existence d'un tel  $n_{\lambda} \in C$ . Soit  $\gamma$  la multiplication à droite par  $c_{\lambda}$ , vue comme endomorphisme de A. Alors quitte à compléter une base de  $V_{\lambda}$  par une base de

$$\text{Tr}\gamma = d! = n_{\lambda} \dim V_{\lambda}$$

# **2.4** Représentation $V_{\lambda'}$

Nous sommes à présent en mesure de démontrer une affirmation faite à la fin de 1.3 :

**Proposition 4** ([1], exercice 4.4). *Soit*  $\lambda$  *une partition de d. Alors* 

$$V_{\lambda'} = V_{\lambda} \otimes \varepsilon \tag{7}$$

Pour démontrer ceci, commençons par établir un

**Lemme 3.** Les représentations  $V_{\lambda} = Aa_{\lambda}b_{\lambda}$  et  $Ab_{\lambda}a_{\lambda}$  sont isomorphes.

Démonstration. On a deux applications obtenues par multiplication à droite :

$$r_{a_{\lambda}}: V_{\lambda} \to Ab_{\lambda}a_{\lambda}$$
  
 $r_{b_{\lambda}}: Ab_{\lambda}a_{\lambda} \to V_{\lambda}$ 

qui sont des homomorphismes de A-module. De plus, d'après le théorème 1, pour tout  $x=yc_\lambda\in V$  on a

$$r_{b_{\lambda}}r_{a_{\lambda}}x = yc_{\lambda}c_{\lambda} = n_{\lambda}yc_{\lambda} = n_{\lambda}x$$

avec  $n_{\lambda} \neq 0$ . Montrons de même que  $d_{\lambda} = b_{\lambda}a_{\lambda}$  est multiple scalaire d'un idempotent : en reprenant la preuve du lemme 2, on obtient que si d vérifie  $\varepsilon(q)qdp=d$  pour tout  $(p,q)\in P_{\lambda}\times Q_{\lambda}$  alors  $d\in\mathbb{C}d_{\lambda}$ . En particulier  $d_{\lambda}^2=m_{\lambda}c_{\lambda}$  avec  $m_{\lambda}\in\mathbb{C}$ . Maintenant, si l'on pose  $V_{\lambda}'=Ad_{\lambda}$  alors  $d_{\lambda}V_{\lambda}'$  ne peut pas être nul, sinon on aurait  $V_{\lambda}'^2=0$  puis  $V_{\lambda}'=0$  par l'argument à la fin de 2.3(b). Donc  $d_{\lambda}/m_{\lambda}$  est un idempotent ; il s'ensuit que  $r_{a_{\lambda}}r_{b_{\lambda}}$  et  $r_{b_{\lambda}}r_{a_{\lambda}}$  sont des isomorphismes, donc finalement  $V_{\lambda}\simeq V'$ .

Finalement, si l'on choisit pour  $\lambda'$  le tableau de Young symétrique de celui utilisé pour  $\lambda$ , alors  $P_{\lambda'} = Q_{\lambda}$  et  $Q_{\lambda'} = P_{\lambda}$ , donc :

$$b_{\lambda}a_{\lambda} = \left(\sum_{q \in Q_{\lambda}} \varepsilon(q)q\right) \left(\sum_{p \in P_{\lambda}} p\right)$$
$$= \sum_{(p,q) \in P_{\lambda} \times Q_{\lambda}} \varepsilon(q)qp$$
$$= \sum_{(q',p') \in Q_{\lambda'} \times P_{\lambda'}} \varepsilon(p')p'q'$$

Tandis que pour comparaison, en faisant porter les sommes sur  $P_{\lambda'} \times Q_{\lambda'}$ :

$$c_{\lambda'} = a_{\lambda'}b_{\lambda'} = \sum_{(p,q)} \varepsilon(q)pq = \sum_{(p,q)} \varepsilon(p)\varepsilon(pq)pq$$

Finalement, soient  $\rho: A \to \operatorname{End}(Ab_{\lambda}a_{\lambda})$  et  $\rho': A \to \operatorname{End}(V_{\lambda'})$  les morphismes structurels. D'après le calcul précédent il y a une bijection linéaire

$$\psi: Ab_{\lambda}a_{\lambda} \to V_{\lambda'}$$

$$\sum_{g \in \mathfrak{S}_d} \alpha_g g \mapsto \sum_{g \in \mathfrak{S}_d} \varepsilon(g)\alpha_g g$$

Pour tout  $g \in \mathfrak{S}_d$  on a alors :

$$\rho'(g)\left(\psi\sum_{h\in\mathfrak{S}_d}\alpha_h h\right) = g\sum_{h\in\mathfrak{S}_d}\alpha_h h = \varepsilon(g)\sum_{h\in\mathfrak{S}_d}\varepsilon(gh)\alpha_h gh = \varepsilon(g)\psi\left(\rho(g)\sum_{h\in\mathfrak{S}_d}\alpha_h h\right)$$

Autrement dit,  $\psi^{-1}\rho'(g)\psi=\varepsilon\rho(g)$ , d'où  $V_{\lambda'}\simeq V_{\lambda}\otimes\varepsilon$ .

# 3 Complément : Formule de Frobenius

#### 3.1 Enoncé

On décrit ici une formule exprimant le caractère  $\chi_{\lambda}$  de la représentation  $V_{\lambda}$ .

Les classes de conjuguaisons de  $\mathfrak{S}_d$  sont indicées par les d-uples  $\mathbf{i}=(i_1,\ldots,i_d)$  d'entiers naturels tel que  $\sum_{\alpha} \alpha i_{\alpha} = d$ ; on note  $C_{\mathbf{i}}$  la classe de conjuguaison de  $\mathfrak{S}_d$  correspondante, formée par les permutations possédant  $i_{\alpha}$  cycles de longueur  $\alpha$ . On cherche à exprimer les  $\chi_{\lambda}(C_{\mathbf{i}})$ .

Soit  $k \geqslant \lambda_1'$  (c'est-à-dire plus grand que le nombre de parts de  $\lambda$ ). On considère les polynômes de  $\mathbb{C}[x_1, \dots x_k]$  suivants :

$$P_j(x_1, \dots x_k) = x_1^j + \dots + x_k^j$$
$$\Delta(x_1, \dots x_k) = \prod_{i < j} (x_i - x_j)$$

Enfin, soit  $(\ell_i)_{1\leqslant i\leqslant k}$  définie à partir de  $\lambda$  par :

$$\ell_i := \lambda_i + k - i$$

La suite  $(\lambda_i)$  étant décroissante, la suite  $(\ell_i)$  l'est strictement. La correspondance  $(\lambda_i) \leftrightarrow (\ell_i)$  est bijective. Pour tout  $P \in \mathbb{C}[x_1, \dots x_k]$  on note  $P_{(j_1, \dots j_k)}$  le coefficient du monôme  $x_1^{j_1} \cdots x_k^{j_k}$  dans P.

**Théorème 3** (Formule de Frobenius). Avec les notations précédentes, le caractère de  $\chi_{\lambda}$  vérifie :

$$\chi_{\lambda}(C_{\mathbf{i}}) = \left[\Delta(x_1, \dots x_k) \prod_{j=1}^d P_j(x_1, \dots x_k)^{i_j}\right]_{(\ell_1, \dots \ell_k)}$$
(8)

# 3.2 Application : formule des équerres

Les dimensions des représentations irréductibles se lisent dans la première colonne des tables de caractère : l'évaluation sur la classe  $\{e\}$ . La formule de Frobenius permet d'exprimer  $\dim V_{\lambda} = \chi_{\lambda}(C_{(d)})$  (le neutre de  $\mathfrak{S}_d$ , c'est d 1-cycles). Ainsi

$$\dim V_{\lambda} = \left[ \Delta(x_1, \dots x_k)(x_1 + \dots + x_k)^d \right]_{(\ell_1, \dots, \ell_k)}$$

Développons  $\Delta$  : cela donne

$$\Delta(x_1, \dots x_k) = \begin{vmatrix} 1 & x_k & \dots & x_k^{k-1} \\ \vdots & \vdots & & \vdots \\ 1 & x_1 & \dots & x_1^{k-1} \end{vmatrix} = \sum_{\sigma \in \mathfrak{S}_k} \varepsilon(\sigma) x_k^{\sigma(1)-1} \cdots x_1^{\sigma(k)-1}$$

La raison pour laquelle nous développons le déterminant de Vandermonde dans le sens allant de  $x_k$  à  $x_1$  apparaîtra plus clairement dans la suite.

D'autre part

$$P_1^d = \sum_{r_i \ge 0, r_1 + \dots + r_k = d} \frac{d!}{r_1!, \dots, r_k!} x_1^{r_1} \cdots x_k^{r_k}$$

Finalement

$$\begin{split} \left[ \Delta(x_1, \dots x_k) (x_1 + \dots + x_k)^d \right]_{(\ell_1, \dots \ell_k)} &= \sum_{r_i, s_i \geqslant 0, \, r_i + s_i = \ell_i} \left[ \Delta(x_1, \dots x_k) \right]_{(s_1, \dots s_k)} \left[ P_1^d \right]_{(r_1, \dots r_k)} \\ &= \sum_{\sigma \in S} \frac{\varepsilon(\sigma) d!}{(\ell_1 - \sigma(k) + 1)! \cdots (\ell_k - \sigma(1) + 1)!} \end{split}$$

où S est l'ensemble des  $\sigma \in \mathfrak{S}_k$  telles que tous les termes  $\ell_{k-i+1} - \sigma(i) + 1$  apparaissant aux dénominateurs dans la somme précédente sont  $\geqslant 0$ .

# Références

- [1] W. Fulton, J. Harris, *Representation theory, A First Course*, Readings in Mathematics, GTM **129**, Springer Verlag, 1991.
- [2] M.A. Najmark, A.I. Stern (trad. du russe par E. Hewitt et A. Hewitt), *Theory of Group Representations*, Grundlehren der math. Wissenschaften **246**, Springer Verlag, 1982.
- [3] J.P. Serre, Représentations linéaires des groupes finis, Hermann, 1998.